УЛК 532.516

# ДИНАМИКА ВЯЗКОГО ГАЗА В ЗАКРЫТОЙ УЗКОЙ ТРУБЕ ПРИ ГАРМОНИЧЕСКИХ КОЛЕБАНИЯХ ПОРШНЯ

© 2023 г. П. П. Осипов<sup>а,\*</sup>, Р. Р. Насыров<sup>а,\*\*</sup>

<sup>а</sup>Федеральный исследовательский центр "Казанский научный центр" РАН, Институт механики и машиностроения, Казань, Россия

\*E-mail: petro300@rambler.ru

\*\*E-mail: nasyrov.ravil@bk.ru

Поступила в редакцию 05.07.2023 г. После доработки 14.08.2023 г. Принята к публикации 01.09.2023 г.

В результате решения линеаризованных двумерных уравнений Навье—Стокса в цилиндрической системе координат получено периодическое решение задачи о динамике газа в закрытой трубе при колебаниях поршня по гармоническому закону. Представлены зависимости резонансных частот от диаметра трубы. Исследован вопрос о максимальной амплитуде продольной скорости колебаний вязкого политропного газа на первой резонансной частоте. Полученные зависимости сравнены с известными результатами для плоского резонатора. Показано, что максимальная продольная скорость примерно в два раза больше в плоском резонаторе, чем в трубе с диаметром, равным ширине плоского резонатора.

Ключевые слова: закрытая труба-резонатор, резонансная частота, колебания вязкого газа

**DOI:** 10.31857/S1024708423600458, **EDN:** CQWRSY

При исследовании колебаний газа в резонаторах зачастую используется предположение о плоском характере волн в исследуемой области. В работе [1] на основе полных уравнений Навье—Стокса проведено численное моделирование волн в плоском закрытом резонаторе, имеющем прямоугольную форму.

- В [2] на основе редуцированных уравнений Навье—Стокса получено аналитическое решение задачи колебаний газа в узкой плоской прямоугольной осциллирующей каверне. На основе полученного решения исследован вопрос о зависимости первой резонансной частоты от ширины канала, а также изучены акустические течения газа в каверне, создаваемые на резонансной частоте стоячей волной.
- В [3] представлено численное решение одномерной задачи распространения периодической ударной волны в резонаторе на основе подхода Лагранжа. Результаты расчетов показали хорошее согласование как с физическими экспериментами [4], так и с результатами численного моделирования динамики газа в двумерном резонаторе [5].
- В [6] получено аналитическое решение задачи колебаний динамики вязкого политропного газа в закрытом плоском резонаторе. На основе аналитического решения построена резонансная кривая давления. Установлено хорошее согласование полученных результатов на резонансных и субрезонансных частотах с результатами подхода Лагранжа [3].
- В [7] во втором приближении получено аналитическое решение задачи о колебаниях газа в плоском закрытом резонаторе с вибрирующей стенкой. Построены графики средних массовых скоростей, которые хорошо согласуются как с численным решением задачи с осциллирующей стенкой [1], так и с аналитическим решением колеблющегося канала [2].
- В [8, 9] численно изучены колебания воздуха в закрытом резонаторе. В ходе исследования использовались полные уравнения Навье—Стокса с уравнением сохранения энергии, теплопроводности и состояния.

Во всех вышеизложенных работах акустические волны рассматривались в закрытом плоском резонаторе, однако на практике резонаторы представляют собой трубу. Поэтому целью настоя-

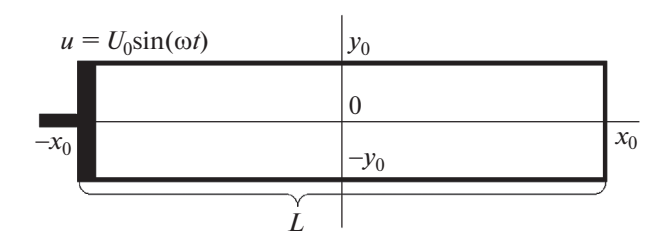


Рис. 1. Труба или плоский резонатор.

щей работы является получение аналитического решения задачи о колебаниях вязкого газа в трубе-резонаторе.

#### 1. ЛИНЕАРИЗОВАННАЯ МОЛЕЛЬ КОЛЕБАНИЙ ГАЗА В ТРУБЕ-РЕЗОНАТОРЕ

Рассмотрим резонатор  $-x_0 \le x \le x_0$ ,  $0 \le y \le y_0$  с жесткими стенками (рис. 1). На левой границе возбуждается продольная скорость так, что

$$\frac{2}{y_0^2} \int_{0}^{y_0} yu(-x_0, y, t) dy = U_0 \sin \omega t.$$

Линеаризованная система, описывающая осесимметричные колебания вязкого сжимаемого газа, имеет вид [7]

$$\frac{1}{\rho_0 c_0^2} \frac{\partial p}{\partial t} + \frac{\partial u}{\partial x} + \frac{1}{y} \frac{\partial yv}{\partial y} = 0,$$

$$\rho_0 \frac{\partial u}{\partial t} + \frac{\partial p}{\partial x} = \mu \frac{1}{y} \frac{\partial}{\partial y} \left( y \frac{\partial u}{\partial y} \right),$$

$$\frac{\partial p}{\partial y} = 0.$$
(1.1)

Будем искать периодическое решение системы (1.1) с граничными условиями: на левой границе — поршень, на правой — отсутствие протекания, на стенках — условия прилипания.

$$\frac{2}{y_0^2} \int_0^{y_0} yu(-x_0, y, t)dy = U_0 e^{i\omega t};$$

$$u(x_0, y, t) = 0;$$

$$u(x, y_0, t) = 0, \quad v(x, y_0, t) = 0.$$
(1.2)

Заметим, что чем больше отношение  $x_0/y_0$ , тем более точно линеаризованная система (1.1) описывает колебания вязкого сжимаемого газа в резонаторе. Периодическое решение задачи (1.1)—(1.2) ищем в виде стоячей волны

$$p = \tilde{p}(x, y)e^{i\omega t},$$

$$u = \tilde{u}(x, y)e^{i\omega t},$$

$$v = \tilde{v}(x, y)e^{i\omega t}.$$
(1.3)

Подстановка (1.3) в (1.1)—(1.2) дает

$$\frac{i\omega}{\rho_0 c_0^2} \tilde{p} + \frac{\partial \tilde{u}}{\partial x} + \frac{1}{y} \frac{\partial y \tilde{v}}{\partial y} = 0, \tag{1.4a}$$

$$\tilde{u} + \frac{1}{i\omega\rho_0} \frac{\partial \tilde{p}}{\partial x} = \frac{\mu}{i\omega\rho_0} \frac{1}{y} \frac{\partial}{\partial y} \left( y \frac{\partial \tilde{u}}{\partial y} \right). \tag{1.4b}$$

Граничные условия запишутся в виде

$$\begin{split} \frac{2}{y_0^2} \int_0^{y_0} y \tilde{u}(-x_0, y) dy &= U_0; \\ \tilde{u}(x_0, y) &= 0; \\ \tilde{u}(x, y_0) &= 0, \quad \tilde{v}(x, y_0) &= 0. \end{split}$$

## 1.1. Продольная скорость в произвольном сечении

Вводя амплитуду скорости  $\tilde{u}_{x0}(x)=-\frac{1}{i\omega\rho_0}\frac{\partial\tilde{p}}{\partial x}$ , запишем для нее уравнение

$$\tilde{u} - \frac{\mu}{i\omega\rho_0} \left( \frac{\partial^2 \tilde{u}}{\partial y^2} + \frac{1}{y} \frac{\partial \tilde{u}}{\partial y} \right) = \tilde{u}_{x0}(x).$$

Его общее решение есть  $\tilde{u}=\tilde{u}_{x0}(x)+A(x)J_0(\beta^*y)$ , где введена функция Бесселя нулевого рода, удовлетворяющая уравнению  $z^2J_0''(z)+zJ_0'(z)+z^2J_0(z)=0$ , где  $z=\beta^*y$ ,  $\beta=\frac{1+i}{\delta}$ ,  $\delta=\sqrt{\frac{2\mu}{\omega\rho_0}}$ , а звездочка означает комплексно-сопряженную величину. С учетом известного соотношения  $J_0'(z)=-J_1(z)$  можно записать на оси

$$\frac{\partial \tilde{u}}{\partial y}\bigg|_{y=0} = A(x)\beta^*J_0(\beta^*y)\bigg|_{y=0} = -A(x)\beta^*J_1(\beta^*y)\bigg|_{y=0} = 0.$$

Из условий прилипания на стенке  $y = y_0$ :

$$\tilde{u}_{x0}(x) + A(x)J_0(\beta^*y_0) = 0,$$

получим  $A(x) = -\frac{\tilde{u}_{x0}(x)}{J_0(\beta^* y_0)},$  откуда

$$\tilde{u} = \tilde{u}_{x0}(x) \left( 1 - \frac{J_0(\beta^* y)}{J_0(\beta^* y_0)} \right).$$

Вводя осредненную по сечению трубы продольную скорость

$$U(x) = \frac{2}{v_0^2} \int_{0}^{v_0} y \tilde{u}(x, y) dy,$$

с учетом известного соотношения  $\int\limits_0^z z J_0(z) dz = z J_1(z),$  запишем

$$\int_{0}^{y_{0}} y \frac{J_{0}(\beta * y)}{J_{0}(\beta * y_{0})} dy = \frac{1}{\beta *^{2} J_{0}(\beta * y_{0})} \int_{0}^{\beta * y_{0}} z J_{0}(z) dz = \frac{y_{0} J_{1}(\beta * y_{0})}{\beta * J_{0}(\beta * y_{0})},$$

откуда следует  $U(x)=(1-f)\ \tilde{u}_{x0}(x)$ , где  $f=\frac{2}{\beta^*y_0}\frac{J_1(\beta^*y_0)}{J_0(\beta^*y_0)}$ . Таким образом, запишем амплитуду колебаний продольной скорости

$$\tilde{u} = \frac{U(x)}{1 - f} \left( 1 - \frac{J_0(\beta^* y)}{J_0(\beta^* y_0)} \right).$$

# 1.2. Касательное напряжение на стенке

Амплитуда касательного напряжения имеет вид:

$$\tilde{\sigma} = \mu \frac{\partial \tilde{u}}{\partial y}\Big|_{y_0} = \mu \frac{U(x)}{1 - f} \beta^* \frac{J_1(\beta^* y_0)}{J_0(\beta^* y_0)} = \mu \frac{U(x)}{1 - f} \frac{\beta^{*2} y_0}{2} f = -\mu \frac{U(x)}{1 - f} i \frac{y_0}{\delta^2} f.$$

То есть, касательное напряжение пропорционально средней по сечению x продольной скорости.

## 1.3. Усредненные по сечению уравнения неразрывности и импульса

Запишем осредненные по сечению уравнения (1.4)

$$\begin{split} \frac{i\omega}{\rho_0 c_0^2} \tilde{p} + \frac{\partial U}{\partial x} &= 0, \\ U(x) + \frac{1}{i\omega\rho_0} \frac{\partial \tilde{p}}{\partial x} &= \frac{2}{i\omega\rho_0} \frac{\tilde{\sigma}}{y_0} = -\frac{2}{i\omega\rho_0 y_0} \mu \frac{U(x)}{1 - f} i \frac{y_0}{\delta^2} f = -\frac{U(x)}{1 - f} f, \end{split}$$

окончательно:

$$\frac{i\omega}{\rho_0 c_0^2} \tilde{p} + \frac{\partial U}{\partial x} = 0, \tag{1.5a}$$

$$\frac{U(x)}{1-f} + \frac{1}{i\omega\rho_0} \frac{\partial \tilde{p}}{\partial x} = 0. \tag{1.5b}$$

#### 1.4. Продольная скорость

Дифференцируя уравнение (1.5a) по x и исключая градиент давления с помощью (1.5b), получим уравнение для средней продольной скорости

$$\frac{\partial^2 U}{\partial x^2} - \alpha^2 U = 0,$$

где 
$$\alpha = \frac{i\omega/c_0}{\sqrt{1-f}}$$
.

Запишем общее решение этого уравнения  $U = A \cosh \alpha x + B \sinh \alpha x$ . Граничные условия дают

$$U_{-x0} = A \operatorname{ch} \alpha x_0 - B \operatorname{sh} \alpha x_0 = U_0,$$
  

$$U_{x0} = A \operatorname{ch} \alpha x_0 + B \operatorname{sh} \alpha x_0 = 0,$$

откуда 
$$A=\frac{U_0}{2\mathop{
m ch}\alpha x_0},\ B=-\frac{U_0}{2\mathop{
m sh}\alpha x_0}$$
 и  $U(x)=\frac{U_0}{2}\biggl(\frac{\mathop{
m ch}\alpha x}{\mathop{
m ch}\alpha x_0}-\frac{\mathop{
m sh}\alpha x}{\mathop{
m sh}\alpha x_0}\biggr).$ 

Поэтому амплитуда продольной скорости равна

$$\frac{\tilde{u}}{U_0} = \frac{0.5}{1 - f} \left( \frac{\operatorname{ch} \alpha x}{\operatorname{ch} \alpha x_0} - \frac{\operatorname{sh} \alpha x}{\operatorname{sh} \alpha x_0} \right) \left( 1 - \frac{J_0(\beta^* y)}{J_0(\beta^* y_0)} \right).$$

# 1.5. Давление

Из (1.5а) получаем

$$\tilde{p} = -\frac{\rho_0 c_0^2}{i\omega} \frac{\partial U}{\partial x} = -\frac{\rho_0 c_0 U_0}{2} \frac{1}{\sqrt{1 - f}} \left( \frac{\sinh \alpha x}{\cosh \alpha x_0} - \frac{\cosh \alpha x}{\sinh \alpha x_0} \right),$$

откуда

$$\frac{\tilde{p}}{\rho_0 c_0 U_0} = -\frac{0.5}{\sqrt{1 - f}} \left( \frac{\sinh \alpha x}{\cosh \alpha x_0} - \frac{\cosh \alpha x}{\sinh \alpha x_0} \right).$$

ИЗВЕСТИЯ РАН. МЕХАНИКА ЖИДКОСТИ И ГАЗА № 6 2023

# 1.6. Поперечная скорость

Уравнение для поперечной скорости найдем, умножив (1.4a) на *у* и проинтегрировав полученное уравнение по *у*. Выражая поперечную скорость, получим

$$\frac{\tilde{v}}{U_0} = -\frac{i\omega}{\rho_0 c_0^2} \frac{y}{2} \frac{\tilde{p}}{U_0} - \frac{1}{y} \frac{\partial}{\partial x} \int_0^y y \frac{\tilde{u}}{U_0} dy.$$

Вычисляя  $\frac{\partial}{\partial x} \int\limits_0^y y \frac{\tilde{u}}{U_0} dy = \frac{0.5\alpha}{1-f} \left( \frac{\sinh\alpha x}{\cosh\alpha x_0} - \frac{\cosh\alpha x}{\sinh\alpha x_0} \right) \int\limits_0^y y \left( 1 - \frac{J_0(\beta^*y)}{J_0(\beta^*y_0)} \right) dy$ , с учетом известного соотношения

$$\int_{0}^{y} y \frac{J_{0}(\beta^{*}y)}{J_{0}(\beta^{*}y_{0})} dy = \frac{1}{\beta^{*2} J_{0}(\beta^{*}y_{0})} \int_{0}^{\beta^{*}y} z J_{0}(z) dz = \frac{y J_{1}(\beta^{*}y)}{\beta^{*} J_{0}(\beta^{*}y_{0})}$$

запишем, опуская громоздкие вычисления

$$\frac{\tilde{v}}{U_0} = y_0 \alpha \frac{0.25 f}{1 - f} \left( \frac{\sinh \alpha x}{\cosh \alpha x_0} - \frac{\cosh \alpha x}{\sinh \alpha x_0} \right) \left( \frac{J_1(\beta^* y)}{J_1(\beta^* y_0)} - \frac{y}{y_0} \right).$$

# 1.7. Резонатор-труба

Переходя к мнимым частям, получим формулы

$$\begin{split} \frac{u(x,y,t)}{U_0} &= \mathrm{Im}\Bigg(\frac{0.5}{1-f}\Bigg(\frac{\mathrm{ch}\,\alpha x}{\mathrm{ch}\,\alpha x_0} - \frac{\mathrm{sh}\,\alpha x}{\mathrm{sh}\,\alpha x_0}\Bigg)\Bigg(1 - \frac{J_0(\beta^*y)}{J_0(\beta^*y_0)}\Bigg)e^{i\omega t}\Bigg),\\ \frac{v(x,y,t)}{U_0} &= \mathrm{Im}\Bigg(\alpha y_0\frac{0.25f}{1-f}\bigg(\frac{\mathrm{sh}\,\alpha x}{\mathrm{ch}\,\alpha x_0} - \frac{\mathrm{ch}\,\alpha x}{\mathrm{sh}\,\alpha x_0}\bigg)\bigg(\frac{J_1(\beta^*y)}{J_1(\beta^*y_0)} - \frac{y}{y_0}\bigg)e^{i\omega t}\Bigg),\\ \frac{p(x,t) - p_0}{\rho_0 c_0 U_0} &= -\mathrm{Im}\bigg(\frac{0.5}{\sqrt{1-f}}\bigg(\frac{\mathrm{sh}\,\alpha x}{\mathrm{ch}\,\alpha x_0} - \frac{\mathrm{ch}\,\alpha x}{\mathrm{sh}\,\alpha x_0}\bigg)e^{i\omega t}\Bigg), \end{split}$$
 гле  $\alpha = \frac{i\omega/c_0}{\sqrt{1-f}}, \ f = \frac{2}{\beta^*y_0}\frac{J_1(\beta^*y_0)}{J_0(\beta^*y_0)}, \ \beta = \frac{i+1}{\delta}, \ \delta = \sqrt{\frac{2\mu}{\omega \rho_0}}.$ 

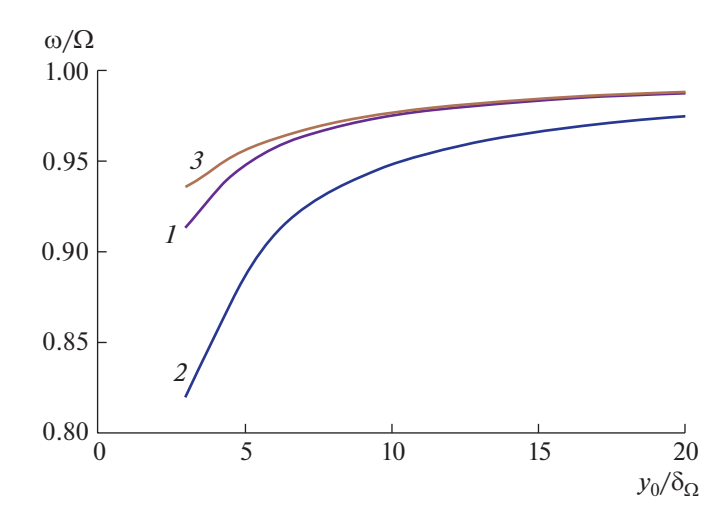
# 1.8. Плоский резонатор

Для сравнения приведем аналогичные формулы, полученные в работе [3] для плоского резонатора

$$\begin{split} \frac{u(x,y,t)}{U_0} &= \mathrm{Im} \Biggl( \frac{0.5}{1-f} \Biggl( \frac{\mathrm{ch}\,\alpha x}{\mathrm{ch}\,\alpha x_0} - \frac{\mathrm{sh}\,\alpha x}{\mathrm{sh}\,\alpha x_0} \Biggr) \Biggl( 1 - \frac{\mathrm{ch}\,\beta y}{\mathrm{ch}\,\beta y_0} \Biggr) e^{i\omega t} \Biggr), \\ \frac{v(x,y,t)}{U_0} &= \mathrm{Im} \Biggl( \alpha y_0 \frac{0.5f}{1-f} \Biggl( \frac{\mathrm{sh}\,\alpha x}{\mathrm{ch}\,\alpha x_0} - \frac{\mathrm{ch}\,\alpha x}{\mathrm{sh}\,\alpha x_0} \Biggr) \Biggl( \frac{\mathrm{sh}\,\beta y}{\mathrm{sh}\,\beta y_0} - \frac{y}{y_0} \Biggr) e^{i\omega t} \Biggr), \\ \frac{p(x,t) - p_0}{\rho_0 c_0 U_0} &= -\mathrm{Im} \Biggl( \frac{0.5}{\sqrt{1-f}} \Biggl( \frac{\mathrm{sh}\,\alpha x}{\mathrm{ch}\,\alpha x_0} - \frac{\mathrm{ch}\,\alpha x}{\mathrm{sh}\,\alpha x_0} \Biggr) e^{i\omega t} \Biggr), \end{split}$$
 где  $\alpha = \frac{i\omega/c_0}{\sqrt{1-f}}, \ f = \frac{\mathrm{th}\,\beta y_0}{\beta y_0}, \ \beta = \frac{i+1}{\delta}, \ \delta = \sqrt{\frac{2\mu}{\omega \rho_0}}. \end{split}$ 

#### 2. СРАВНЕНИЕ ПЛОСКОГО И ОСЕСИММЕТРИЧНОГО РЕШЕНИЯ

Далее будем сравнивать резонатор-трубу и плоский резонатор. При этом диаметр первого будет равен ширине плоского резонатора. Максимум амплитуды продольной скорости достигается



**Рис. 2.** Резонансная частота: 1 — плоский резонатор, 2 — труба-резонатор диаметром, равным ширине плоского резонатора, 3 — плоская каверна [2].

на оси y = 0 в центре резонатора x = 0. Поэтому будем искать максимум модуля продольной скорости газа по частоте  $\omega$ , т.е. величины

$$\frac{|\tilde{u}(0,0)|}{U_0} = \frac{|0.5|}{1-f} \frac{1}{\cosh \alpha x_0} \left(1 - \frac{1}{J_0(\beta^* y_0)}\right).$$

При этом надо учесть, что величины  $\delta$ ,  $\beta^*$ , f,  $\alpha$  зависят от частоты  $\omega$ . В результате определяются оптимальные значения частоты  $\omega$  и максимальная продольная скорость  $U_{\max}$ .

Для поиска максимума скорости будем задавать длину резонатора  $L=2x_0$  и его относительный радиус  $y_0/\delta_\Omega$ . Толщина акустического пограничного слоя  $\delta_\Omega=\sqrt{\frac{2\nu}{\Omega}}$  берется для фундаментальной частоты  $\Omega=\pi c_0/L$ . Для воздуха эта толщина может быть выражена в системе СГС через длину резонатора  $\delta_\Omega=\sqrt{\frac{2\nu}{\pi c_0}}\sqrt{L}=0.00165\sqrt{L}$ .

Для плоского резонатора будем искать максимум по частоте  $\omega$  выражения [7]

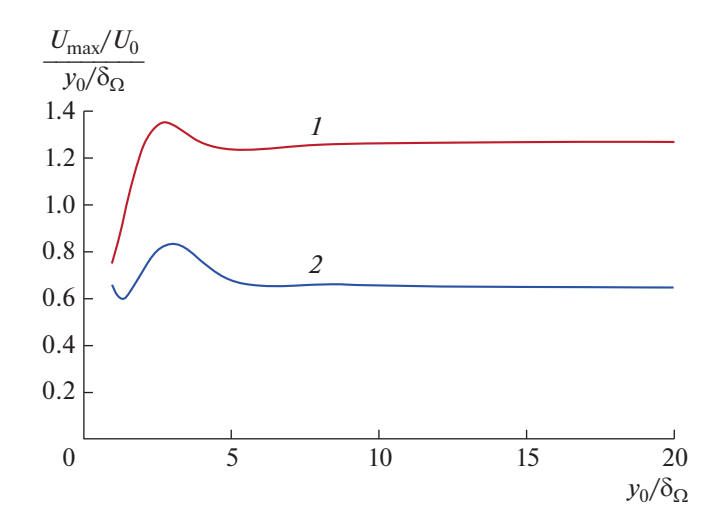
$$\frac{\left|\tilde{u}(0,0)\right|}{U_0} = \left|\frac{0.5}{1-f}\frac{1}{\operatorname{ch}\alpha x_0}\left(1 - \frac{1}{\operatorname{ch}\beta y_0}\right)\right|.$$

На рис. 2 приведены графики зависимости резонансной частоты от поперечных размеров плоского [7], осесимметричного резонатора и плоской каверны [2]. Чем больше эти размеры, тем ближе резонансная частота к фундаментальной. Чем меньше поперечные размеры резонаторов, тем больше сказывается вязкость газа и тем более сдвигается резонанс от фундаментальной частоты в область низких частот. Для осесимметричного резонатора резонансные частоты меньше частот, чем для плоского.

В случае колеблющейся каверны, рассмотренной в работе [2], резонансная частота определяется из выражения  $\frac{|\tilde{u}(0,0)|}{2U_0} = \left| \left( 1 - \frac{1}{\operatorname{ch} \alpha x_0} \right) \left( 1 - \frac{1}{\operatorname{ch} \beta y_0} \right) \right|$ , и ее зависимость от ширины каверны представлена на рис. 2.

На рис. 3 представлены зависимости максимальной амплитуды продольной скорости газа  $U_{\rm max}/U_0$  от поперечных размеров плоского и осесимметричного резонаторов на резонансной частоте

Графики рис. 3 показывают, что в диапазоне  $5 \le y_0/\delta \le 20$  скорости  $U_{\rm max}/U_0$  пропорциональны относительным поперечным размерам резонаторов  $y_0/\delta_\Omega$ . Эти значения приближенно могут быть оценены по следующим формулам: для трубы-резонатора  $\frac{U_{\rm max}}{U_0} \approx 0.64 \frac{y_0}{\delta_\Omega}$ ; для плоского ре-



**Рис. 3.** Максимальная продольная скорость: 1 — плоский резонатор, 2 — труба-резонатор диаметром, равным ширине плоского резонатора.

зонатора  $\frac{U_{\max}}{U_0} \approx 1.26 \frac{y_0}{\delta_{\Omega}}$ . Максимальная амплитуда продольной скорости газа в плоском резонаторе шириной  $2y_0$  примерно в два раза больше, чем в трубе диметром  $2y_0$ .

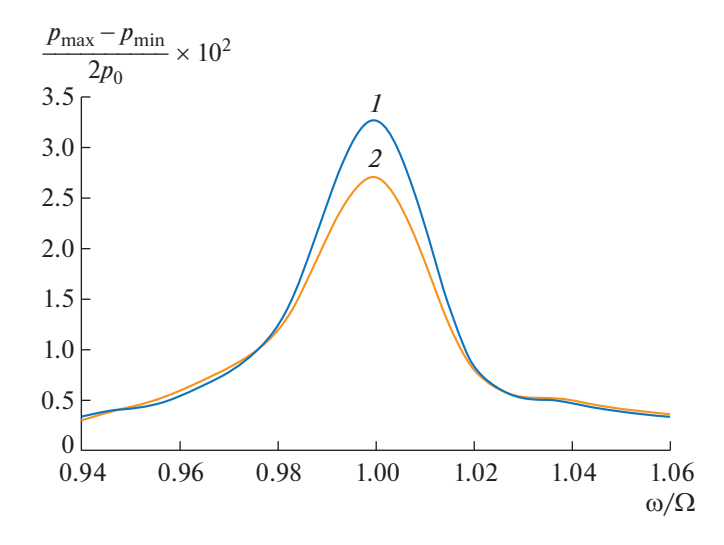
Приведенная формула позволяет оценить трудно измеряемую максимальную продольную скорость газа. Так, для трубы-резонатора длиной L=106 см с внутренним диаметром  $2y_0=3.65$  см изучаемой в работе [10], при угловой частоте  $\omega\approx 1009$  рад/с, амплитуде смещения поршня  $X_0=0.035$  см, амплитуде скорости поршня  $U_0=35.3$  см/с толщина акустического пограничного слоя равна  $\delta_\Omega=0.00165\sqrt{L}\approx 0.0165$  см = 165 мкм, а максимальная продольная скорость газа равна  $\frac{U_{\rm max}}{U_0}\approx 0.64\times \frac{1.8}{0.0165}\approx 69.8$ .

В качестве другого примера рассмотрим плоский резонатор длиной L=0.8825 см, шириной  $2y_0=0.0316$  см [1]. Толщина акустического пограничного слоя равна  $\delta_\Omega=0.00165\times\sqrt{0.8825}\approx0.00155$  см = 15.5 мкм. Максимальная амплитуда продольной скорости газа в этом случае равна  $\frac{U_{\rm max}}{U_0}\approx1.26\times\frac{0.0158}{0.00155}\approx12.84$ .

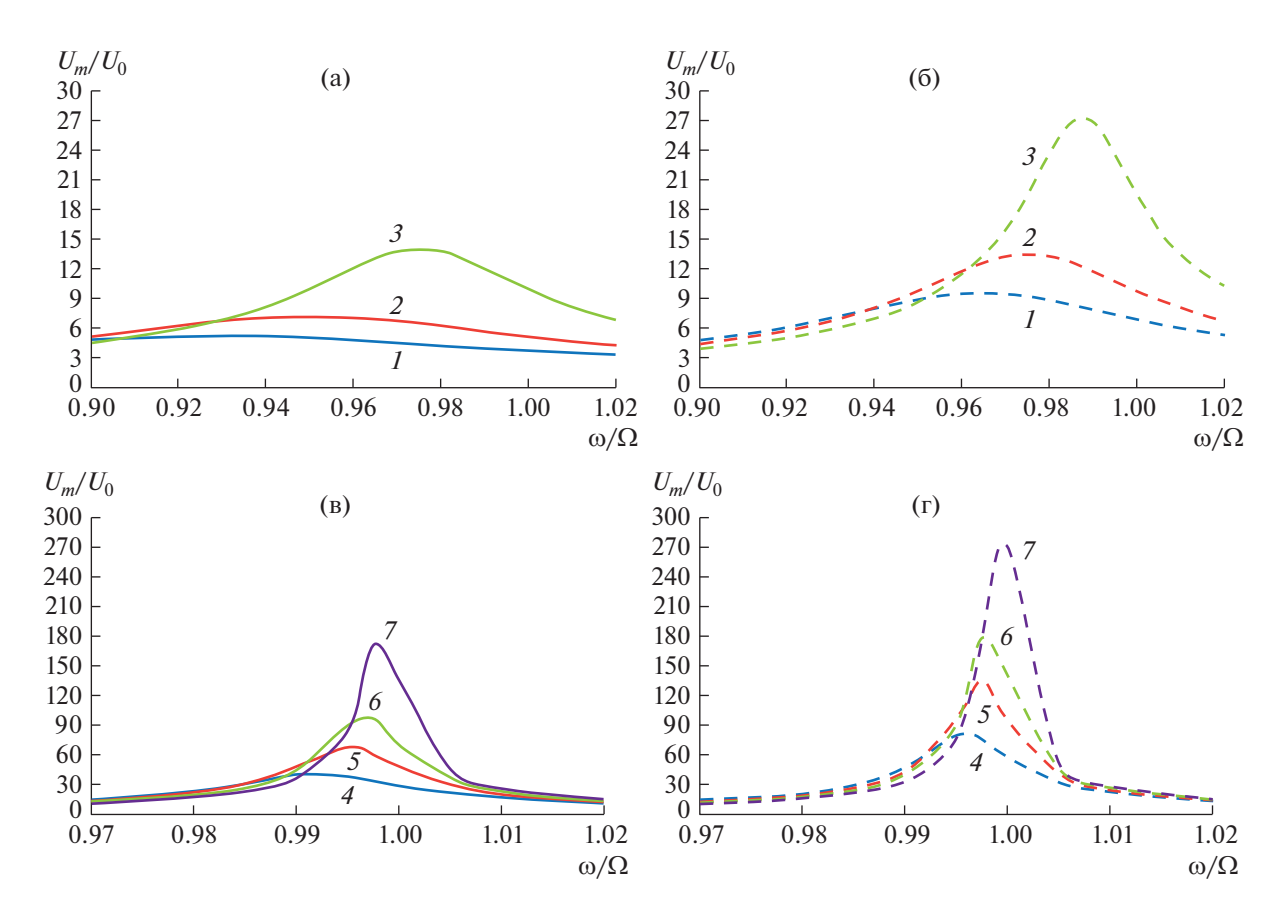
На рис. 4 изображены резонансные кривые давления в осесимметричном резонаторе, посчитанные аналитически и численно, в диапазоне частот  $\omega/\Omega \in [0.94, 1.06]$ .

Графики полностью совпадают вне резонанса в областях [0.94, 0.98] и [1.02, 1.06], хорошо согласуются около резонанса ([0.98, 0.99] и [1.01, 1.02]). В резонансе  $\omega/\Omega=1$  значения безразмерной амплитуды давления  $\frac{p_{\max}-p_{\min}}{2p_0}$  максимальны и примерно равны 0.03.

На рис. 5 изображены графики максимальной амплитуды продольной скорости газа для частот, близких к фундаментальной частоте  $\Omega = \pi c_0/L$ . На графиках а и в представлены амплитудно-частотные характеристики для цилиндрического резонатора, на б и г — для плоского прямоугольного резонатора. Из графиков видно, что максимальные амплитуды продольной скорости газа для резонаторов различной ширины/радиуса значительно различаются вблизи фундаментальной частоты и сближаются по мере отклонения от нее. Максимальные амплитуды продольной скорости газа достигаются вблизи фундаментальной частоты попарно для осесимметричного и плоского случаев для резонаторов одинаковой ширины (или радиуса для осесимметричного случая). Графики имеют схожий колоколообразный характер. Из графиков видно, что максимальная скорость газа в плоском случае в 2 раза превышает скорость в осесимметричном случае вблизи фундаментальной частоты и совпадает вне фундаментальной резонансной области. На графиках пики сплошной линии находятся левее пиков пунктирной, значит резонансная частота для осесимметричного случая меньше резонансной частоты для плоского случая. Видно,

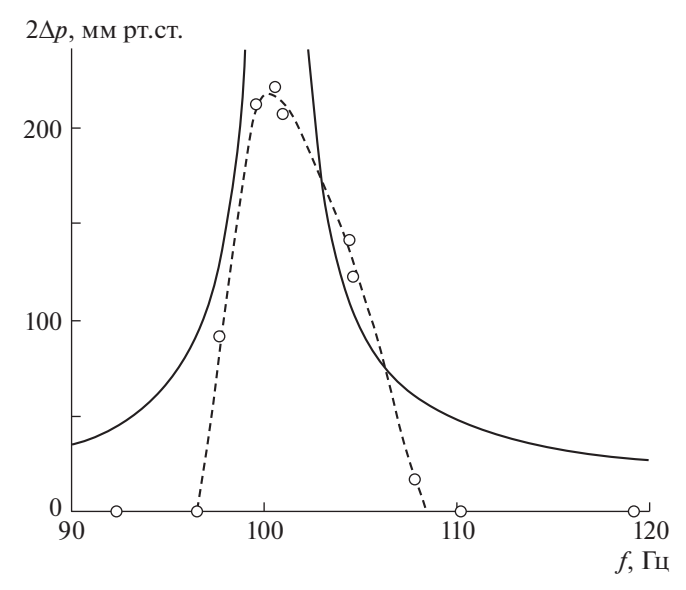


**Рис. 4.** Резонансная кривая давления в осесимметричном резонаторе. 1 — аналитическое решение, 2 — численное моделирование.

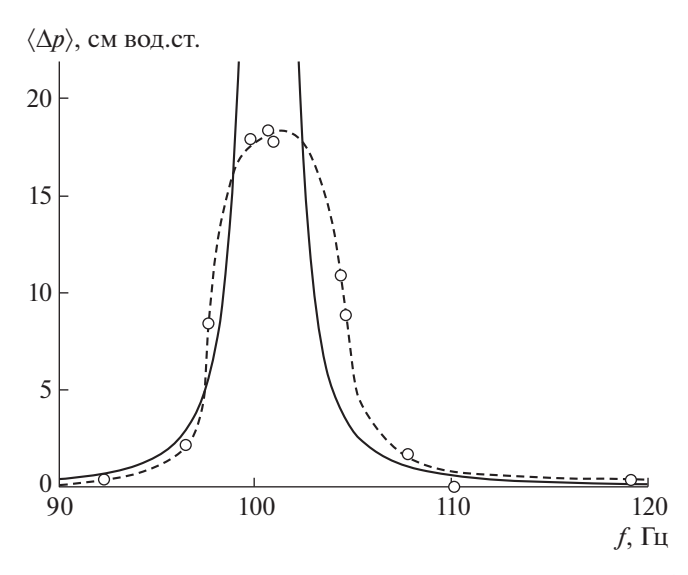


**Рис. 5.** Максимальные амплитуды продольной скорости газа вблизи фундаментальной частоты. а и в — цилиндрический резонатор, б и г — плоский двумерный резонатор.  $I-y_0/\delta=7,\ 2-y_0/\delta=10,\ 3-y_0/\delta=20,\ 4-y_0/\delta=60,\ 5-y_0/\delta=100,\ 6-y_0/\delta=150,\ 7-y_0/\delta=300.$ 

что для узких резонаторов максимальная скорость газа достигается при частотах меньше фундаментальной. С ростом ширины (радиуса) резонатора максимальная скорость достигается при частотах, близких к фундаментальной частоте.



**Рис. 6.** Резонансная кривая максимального размаха давления на закрытом конце трубы-резонатора. Пунктиром — эксперимент [4], сплошной — аналитическое решение.



**Рис. 7.** Резонансная кривая среднего возмущения давления на закрытом конце трубы-резонатора. Пунктиром — эксперимент [4], сплошной — аналитическое решение.

В [4] изучены колебания газа в трубе-резонаторе длиной L=170.18 см и диаметром d=4.826 см. Толщина пограничного слоя равна  $\delta_{\Omega}=\sqrt{\frac{2\nu}{\pi c_0}}\sqrt{L}=0.00165\times\sqrt{1.7018}=0.002145$  см,  $d/\delta=0.04826/0.002145=22.5$ , т.е.  $d=22.5\delta$ , что говорит о том, что эта труба достаточно узкая для применения предложенного аналитического решения.

На рис. 6 изображены резонансные кривые максимального размаха давления  $\Delta p = p - p_0$  на закрытом конце трубы-резонатора, посчитанные аналитически и экспериментально. В работе [4] изучались ударные волны, которые возникают вблизи резонансной частоты, поэтому вне резонансных частот (где ударные волны не возникают) размах давления принимался равным нулю. Графики удовлетворительно согласуются на субрезонасных частотах.

На рис. 7 изображены резонансные кривые среднего возмущения давления на закрытом конце трубы-резонатора, посчитанные аналитически и экспериментально [4]. Графики хорошо согласуются вне резонанса и удовлетворительно согласуются на субрезонасных частотах.

#### ЗАКЛЮЧЕНИЕ

Получено приближенное решение задачи о колебаниях газа в закрытой трубе-резонаторе в замкнутом виде. На основе этого решения изучены поля скоростей и давления на резонансной и субрезонансных частотах для труб различного диаметра. Построены зависимости резонансных частот от диаметра трубы-резонатора. Установлено, что чем больше диаметр резонатора, тем ближе резонансная частота к фундаментальной. Чем меньше поперечные размеры резонаторов, тем больше сказывается вязкость газа и тем более сдвигается резонанс от фундаментальной частоты в область низких частот. Показано, что для осесимметричного резонатора резонансные частоты меньше частот, чем для плоского.

Найдены зависимости максимальной продольной скорости колебаний вязкого политропного газа от диаметра резонатора. Полученные зависимости сравнены с известными результатами для плоского резонатора. Показано, что средняя продольная скорость плоского резонатора примерно в два раза больше, чем скорость в трубе-резонаторе с диаметром, равным ширине плоского резонатора.

Получены резонансные кривые давления в осесимметричном резонаторе, посчитанные аналитически и численно вблизи резонанса. Установлены хорошее согласование графиков вблизи резонанса и удовлетворительное согласование амплитуды безразмерного давления в резонансе. Заметим, что, помимо практической пользы для прикладных оценок, аналитическое решение необходимо для учета вторичных течений.

#### ФИНАНСИРОВАНИЕ

Исследование выполнено за счет гранта Российского научного фонда № 20-11-20070, https://rscf.ru/project/20-11-20070/

#### КОНФЛИКТ ИНТЕРЕСОВ

Авторы заявляют об отсутствии конфликта интересов.

#### СПИСОК ЛИТЕРАТУРЫ

- 1. *Aktas M.K.*, *Farouk B*. Numerical simulation of acoustic streaming generated by finite-amplitude resonant oscillations in an enclosure // Journal of the Acoustical Society of America. 2004. V. 116. № 5. P. 2822–2831. https://doi.org/10.1121/1.1795332
- 2. *Hamilton M.F., Ilinskii Yu.A., Zabolotskaya E.A.* Acoustic streaming generated by standing waves in two-dimensional channels of arbitrary width // Journal of the Acoustical Society of America. 2003. V. 113. № 1. P. 153–160. https://doi.org/10.1121/1.1528928
- 3. Gubaidullin D.A., Osipov P.P., Nasyrov R.R., Almakaev I.M. Numerical simulation of the shock wave in the closed resonator using 1D Lagrange's approach // Journal of Physics: Conference Series. 2018. V. 1058. № 012064. P. 1–4. https://doi.org/10.1088/1742-6596/1058/1/012064
- Saenger R.A., Hudson G.E. Periodic shock waves in resonating gas columns // Journal of the Acoustical Society of America. 1960. V. 32. P. 961–970. https://doi.org/10.1121/1.1908343
- 5. Chester W. Resonant oscillations in closed tubes // Journal of Fluid Mechanics. 1964. V. 18. P. 44–64. https://doi.org/10.1017/S0022112064000040
- 6. Osipov P.P., Nasyrov R.R. Resonance curve in rectangular closed channel // Lobachevskii Journal of Mathematics. 2020. V. 41. № 7. P. 1283–1288. https://doi.org/10.1134/S1995080220070355
- 7. *Губайдуллин Д.А., Осипов П.П., Насыров Р.Р.* Акустическое течение, индуцированное колебанием стенки плоского прямоугольного резонатора // Известия РАН. Механика жидкости и газа. 2022. № 1. С. 3—13. https://doi.org/10.31857/S0568528122010054
- 8. *Aganin A.A., Ilgamov M.A., Smirnova E.T.* Development of longitudinal gas oscillations in a closed tube // Journal of Sound and Vibration. 1996. V. 195. P. 359–374. https://doi.org/10.1006/jsvi.1996.0431
- 9. *Тукмаков А.Л*. Численное моделирование колебаний монодисперсной газовзвеси в нелинейном волновом поле // Прикладная механика и техническая физика. 2011. Т. 52. № 2. С. 36—43. https://doi.org/10.1134/S0021894411020040
- 10. *Губайдуллин Д.А., Зарипов Р.Г., Ткаченко Л.А.* Экспериментальное исследование коагуляции и осаждения аэрозоля в закрытой трубе в безударно-волновом режиме // Теплофизика высоких температур. 2012. Т. 50. № 4. С. 603—605. https://doi.org/10.1134/S0018151X12040098